

IO PRO A/D A D/A PŘEVODNÍKY

Převodníky

1.2

1.2.1

MDAC 08C, MDAC 08CC, MDAC 08EC, MDAC 08CP, MDAC 08EP PŘEVODNIK D/A 8 BITŮ

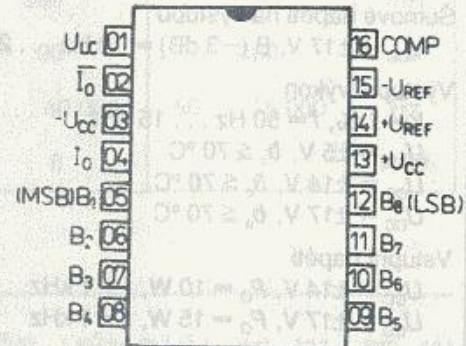
MDAC 08C, MDAC 08CC, MDAC 08EC, MDAC 08CP, MDAC 08EP ЦИФРО-АНАЛОГОВЫЙ ПРЕОБРАЗОВАТЕЛЬ 8 БИТОВ

- MDAC 08C, MDAC 08CC, MDAC 08EC, MDAC 08CP, MDAC 08EP 8 BIT D/A CONVERTERS • MDAC 08C, MDAC 08CC, MDAC 08EC, MDAC 08CP, MDAC 08EP ACHTBIT-DIGITAL-ANALOG-UMSETZER

Monolitický bipolární násobící převodník D/A 8 bitů pro všeobecné použití

Mezní hodnoty:

	min.	max.	
$+U_{CC} \dots -U_{CC}$		36	V
U_I	$-U_{CC}$	$-U_{CC} + 36$	V
U_{LC}	$-U_{CC}$	$+U_{CC}$	V
U_{REF} (vývody 14 a 15)	$-U_{CC}$	$+U_{CC}$	V
U_{DIF} (vývody 14 a 15)	-18	+18	V
I_o	viz. obr.		mA
I_{REF}	5		mA
$P_{tot}^1)$	500		mW
$\times (\vartheta_a \geq 100^\circ C)$	10		mW/K
ϑ_a MDAC 08C	-55	+125	°C
MDAC 08CC, MDAC 08CP	0	+70	°C
MDAC 08EC, MDAC 08EP	0	+70	°C
ϑ_{stg}	-55	+155	°C

1) $\vartheta_a = \vartheta_{min} \dots \vartheta_{max}$ 

Zapojení vývodů (pohled shora)

- B₁ ... B₈ – číslicový vstup
- C – kompenzace
- U_{LC} – rozhodovací vstup
- R_{REF+} – kladný pól referenčního napětí
- U_{REF-} – záporný pól referenčního napětí
- I_o – analogový výstup
- T_o – invertovaný analogový výstup
- +U_{CC} – kladné napájecí napětí
- U_{CC} – záporné napájecí napětí

Charakteristické údaje:

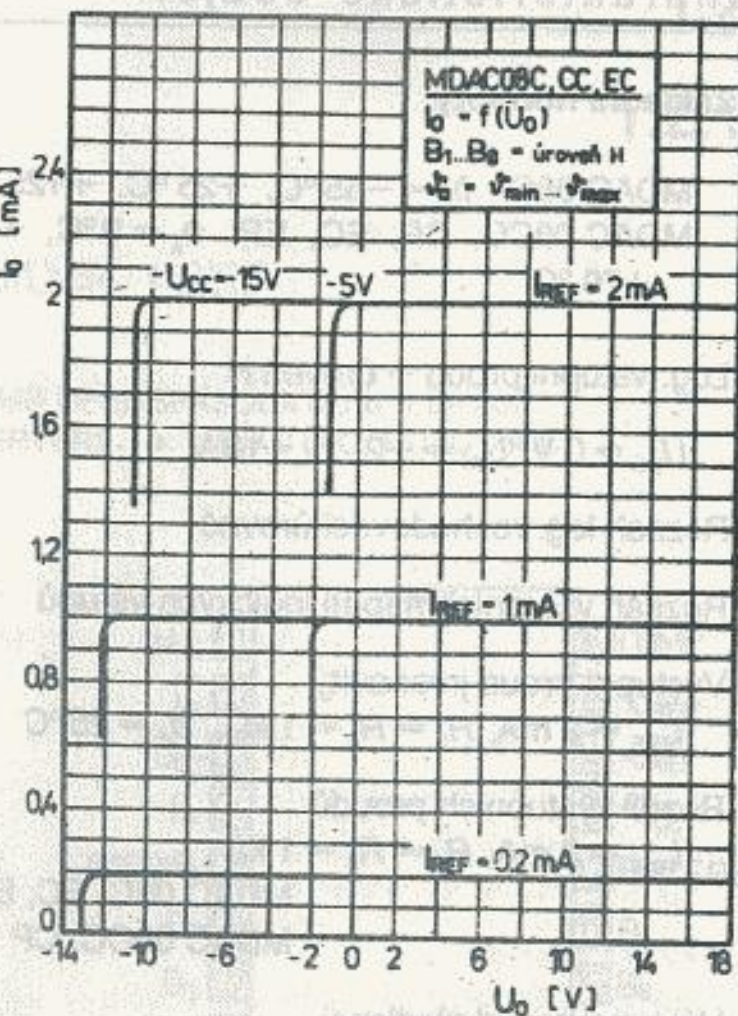
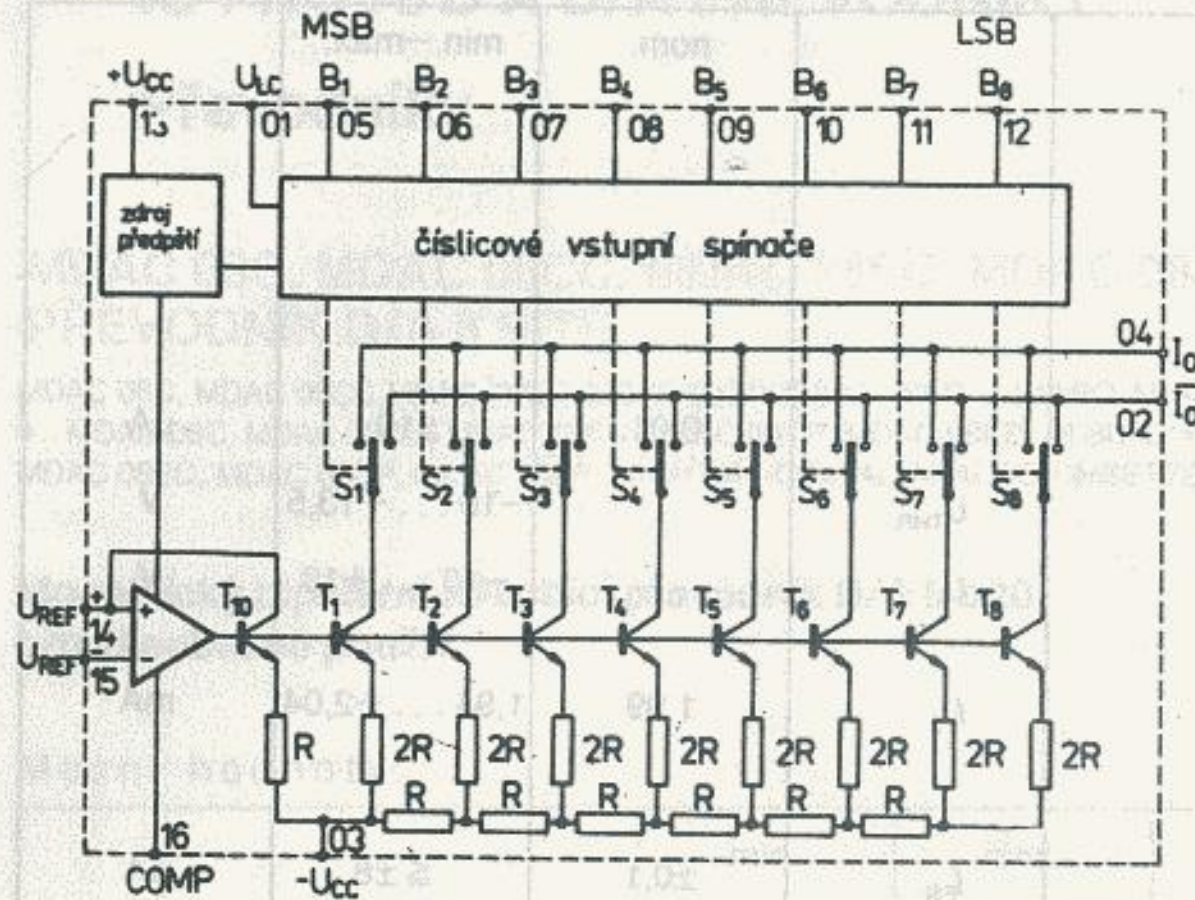
 $U_{CC} = \pm 15 V$, není-li uvedeno jinak

Základní hodnoty:	nom.	min.–max.	
MDAC 08C: $\vartheta_a = -55^\circ C, +25^\circ C, +125^\circ C$			
MDAC 08CC, CP, EC, EP: $\vartheta_a = 0^\circ C, +25^\circ C, +70^\circ C$			
Napájecí proud kladný			
$U_{CC} = \pm 15 V, I_{REF} = 1 mA$	+I _{CC}	2,8	mA
$+U_{CC} = +5 V, -U_{CC} = -15 V, I_{REF} = 2 mA$	+I _{CC}	3,0	mA
$I_{REF} = 2 mA$	+I _{CC}	3,1	mA
Napájecí proud záporný			
$U_{CC} = \pm 5 V, I_{REF} = 1 mA$	-I _{CC}	4,7	mA
$+U_{CC} = +5 V, -U_{CC} = -15 V, I_{REF} = 2 mA$	-I _{CC}	6,8	mA
$I_{REF} = 2 mA$	-I _{CC}	6,8	mA
Vstupní klidový proud			
$I_{REF} = 2 mA$	-I _L	1,5	mA
Log. vstupní napětí – úroveň L			
$U_{LC} = 0 V$	U _{IL}	≤ 0,8	V
Log. vstupní napětí – úroveň H			
$U_{LC} = 0 V$	U _{IH}	≥ 2,0	V
Log. vstupní proud – úroveň L			
$U_{LC} = 0 V, U_L = -10 V \dots +0,8 V$	-I _{IL}	5	μA

Charakteristické údaje:

 $U_{CC} = \pm 15 \text{ V}$, není-li uvedeno jinak

Základní hodnoty:		nom.	min.–max.	
MDAC 08C: $\vartheta_a = -55^\circ\text{C}, +25^\circ\text{C}, +125^\circ\text{C}$ MDAC 08CC, CP, EC, EP: $\vartheta_a = 0^\circ\text{C}, +25^\circ\text{C}, +70^\circ\text{C}$				
Log. vstupní proud — úroveň H $U_{LC} = 0 \text{ V}, U_{IH} = +2 \dots +18 \text{ V}$	I_H	0,01	≤ 10	μA
Rozsah log. rozhodovací úrovně	U_{THR}		$-10 \dots +13,5$	V
Rozsah vstupních napětí logických vstupů	U_I		$-10 \dots +18$	V
Výstupní proud jmenovitý $I_{REF} = 2 \text{ mA}, R_2 = R_4 = 1 \text{ k}\Omega, \vartheta_a = 25^\circ\text{C}$	I_{FS}	1,99	$1,94 \dots +2,04$	mA
Rozdíl výstupních proudů $I_{REF} = 2 \text{ mA}, R_2 = R_4 = 1 \text{ k}\Omega$ MDAC 08C, EC, EP MDAC 08CC, CP	I_{FS} I_{FS}	$\pm 0,1$ $\pm 0,2$	$\leq \pm 8$ $\leq \pm 16$	μA μA
Výstupní proud zbytkový $I_{REF} = 2 \text{ mA}, R_2 = R_4 = 50 \text{ k}\Omega$ MDAC 08C, EC, EP MDAC 08CC, CP	I_{ZS} I_{ZS}	$\pm 0,6$ $\pm 0,6$	$\leq \pm 2$ $\leq \pm 4$	μA μA
Rozsah výstupního proudu $+U_{CC} = +15 \text{ V}, -U_{CC} = -10 \text{ V}, I_{REF} = 3 \text{ mA}$ $+U_{CC} = +15 \text{ V}, -U_{CC} = -12 \text{ V}, I_{REF} = 5 \text{ mA}$	I_{FSR} I_{FSR}		$\geq 2,1$ $\geq 4,2$	mA mA
Rozsah výstupního napětí $\Delta I_0 < 1/2 \text{ LSB}$	U_{OC}		$-10 \dots +18$	V
Integrální nelinearity $I_{REF} = 2 \text{ mA}$ MDAC 08C, EC, EP MDAC 08CC, CP	NL NL		$\leq \pm 0,19$ $\leq \pm 0,39$	% FS % FS
Diferenciální nelinearity $I_{REF} = 2 \text{ mA}$	DNL		$\leq \pm 1$	LSB
Citlivost na změnu napájecího napětí $U_{CC} = \pm 4,5 \text{ V}, I_{REF} = 1 \text{ mA}$	E_{FS}	$\pm 0,002$	$\leq \pm 0,01$	%/%
Doba ustálení $\Delta I_0 < 1/2 \text{ LSB}, \vartheta_a = 25^\circ\text{C}$	t_s	85	≤ 150	ns
Přejimací zpoždění $\vartheta_a = 25^\circ\text{C}$	t_p	35	≤ 60	ns
Rychlosť přeběhu $I_{REF} = 0,5 \dots 2,5 \text{ mA}, C_C = 0 \text{ pF}$	S	8,0	$\geq 4,0$	$\text{mA}/\mu\text{s}$
Teplotní součinitel výstupního proudu MDAC 08C, CC, CP MDAC 08EC, EP	TK_{IFS} TK_{IFS}	± 10 ± 10	$\leq \pm 80$ $\leq \pm 50$	10^{-6} FS/K 10^{-6} FS/K



Závislost výstupního proudu I_O na výstupním napětí U_O

**ANALOGOVÉ INTEGROVANÉ OBVODY
PŘEVODNÍK D/A 8 BITŮ**

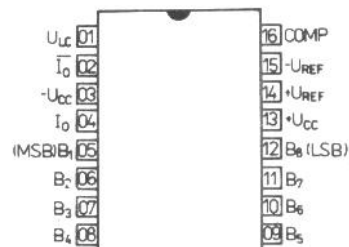
**MDAC08C
MDAC08CC, MDAC08EC,
MDAC08CP, MDAC08EP**

**MONOLITICKÝ BIPOLÁRNÍ RYCHLÝ NÁSOBÍCÍ PŘEVODNÍK D/A
8 BITŮ PRO VŠEOBECNÉ POUŽITÍ.**

MEZNÍ HODNOTY:

	min.	max.	
$+U_{CC} \dots -U_{CC}$		36	V
U_I	$-U_{CC}$	$-U_{CC} + 36$	V
U_{LC}	$-U_{CC}$	$+U_{CC}$	V
U_{REF} (vývody 14 a 15)	$-U_{CC}$	$+U_{CC}$	V
U_{DIF} (vývody 14 a 15)	-18	+18	V
I_O	viz obr.		mA
I_{REF}		5	mA
P_{tot} 1)		500	mW
$x (\vartheta_a \geq 100^\circ C)$		10	mW/K
ϑ_a MDAC08C	-55	+125	°C
MDAC08CC, MDAC08CP	0	+70	°C
MDAC08EC, MDAC08EP	0	+70	°C
ϑ_{stg}	-55	+155	°C

$$\gamma \vartheta_a = \vartheta_{min} \dots \vartheta_{max}$$



Zapojení vývodů
(pohled shora)

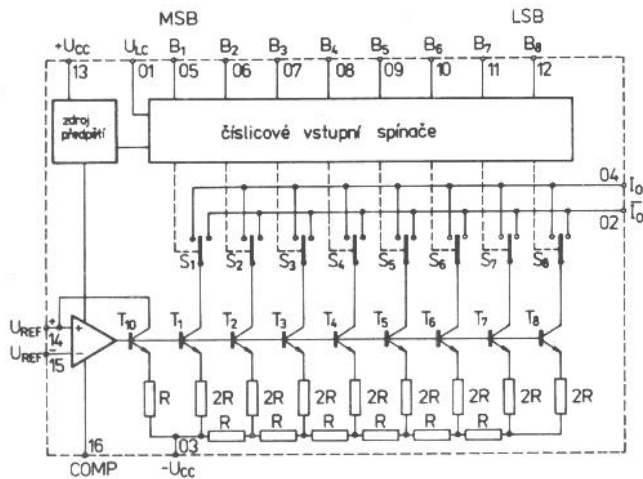
$B_1 \dots B_8$	číselcový vstup
C	kompenzace
U_{LC}	rozhodovací vstup
U_{REF+}	kladný pól referenčního napětí
U_{REF-}	záporný pól referenčního napětí
I_O	analogový výstup
$\overline{I_O}$	invertovaný analogový výstup
$+U_{CC}$	kladné napájecí napětí
$-U_{CC}$	záporné napájecí napětí

POUZDRO: MDAC08C, CC, EC
MDAC08CP, EP IO—18/C2
 IO—14

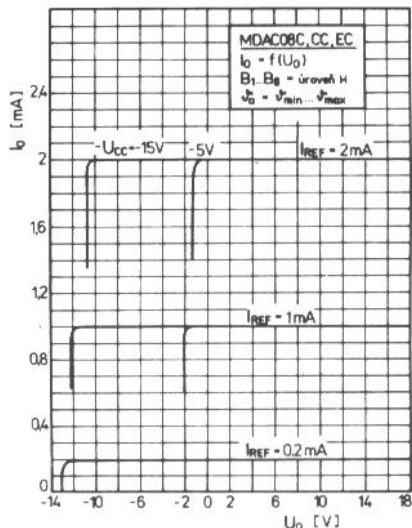
CHARAKTERISTICKÉ ÚDAJE: $U_{CC} = \pm 15$ V, není-li uvedeno jinak

Základní hodnoty: MDAC08C: $\vartheta_a = -55^\circ C, +25^\circ C, +125^\circ C$
MDAC08CC, CP, EC, EP: $\vartheta_a = 0^\circ C, +25^\circ C, +70^\circ C$

	nom.	min.-max.	
Napájecí proud kladný			
$U_{CC} = \pm 15$ V, $I_{REF} = 1$ mA	$+I_{CC}$	2,8	mA
$+U_{CC} = +5$ V, $-U_{CC} = -15$ V, $I_{REF} = 2$ mA	$+I_{CC}$	3,0	mA
$I_{REF} = 2$ mA	$+I_{CC}$	3,1	mA
Napájecí proud záporný			
$U_{CC} = \pm 5$ V, $I_{REF} = 1$ mA	$-I_{CC}$	4,7	mA
$+U_{CC} = +5$ V, $-U_{CC} = -15$ V, $I_{REF} = 2$ mA	$-I_{CC}$	6,8	mA
$I_{REF} = 2$ mA	$-I_{CC}$	6,8	mA
Vstupní klidový proud			
$I_{REF} = 2$ mA	$-I_{L5}$	1,5	mA
Log. vstupní napětí — úroveň L $U_{LC} = 0$ V	U_{IL}	$\leq 0,8$	V
Log. vstupní napětí — úroveň H $U_{LC} = 0$ V	U_{IH}	$\geq 2,0$	V
Log. vstupní proud — úroveň L $U_{LC} = 0$ V, $U_{IL} = -10$ V ... +0,8 V	$-I_{IL}$	5	≤ 10 μA
Log. vstupní proud — úroveň H $U_{LC} = 0$ V, $U_{IH} = +2 \dots +18$ V	I_{IH}	0,01	≤ 10 μA
Rozsah log. rozhodovací úrovni	U_{THR}	$-10 \dots +13,5$	V
Rozsah vstupních napětí logických vstupů	U_I	$-10 \dots +18$	V
Výstupní proud jmenovitý $I_{REF} = 2$ mA, $R_2 = R_4 = 1$ k Ω , $\vartheta_a = 25^\circ C$	I_{FS}	1,99	$1,94 \dots +2,04$ mA



Funkční blokové zapojení



Závislost výstupního proudu I_0
na výstupním napětí U_0

CHARAKTERISTICKÉ ÚDAJE: $U_{CC} = \pm 15 \text{ V}$, není-li uvedeno jinak

Základní hodnoty: MDAC08C: $\vartheta_a = -55^\circ\text{C}, +25^\circ\text{C}, +125^\circ\text{C}$
MDAC08CC, CP, EC, EP: $\vartheta_a = 0^\circ\text{C}, +25^\circ\text{C}, +70^\circ\text{C}$

Rozdíl výstupních proudů

$I_{REF} = 2 \text{ mA}, R_2 = R_4 = 1 \text{ k}\Omega$

	nom.	min.-max.
MDAC08C, EC, EP MDAC08CC, CP	I_{FS} I_{FS}	$\pm 0,1$ $\pm 0,2$ $\leq \pm 8$ $\leq \pm 16$ μA μA

Výstupní proud zbytkový

$I_{REF} = 2 \text{ mA}, R_2 = R_4 = 50 \text{ k}\Omega$

	nom.	min.-max.
MDAC08C, EC, EP MDAC08CC, CP	I_{ZS} I_{ZS}	$\pm 0,6$ $\pm 0,6$ $\leq \pm 2$ $\leq \pm 4$ μA μA

Rozsah výstupního proudu

$+U_{CC} = +15 \text{ V}, -U_{CC} = -10 \text{ V}, I_{REF} = 3 \text{ mA}$
 $+U_{CC} = +15 \text{ V}, -U_{CC} = -12 \text{ V}, I_{REF} = 5 \text{ mA}$

	nom.	min.-max.
	I_{FSR} I_{FSR}	$\geq 2,1$ $\geq 4,2$ mA mA

Rozsah výstupního napětí

$\Delta I_0 < 1/2 \text{ LSB}$

	nom.	min.-max.
	U_{OC}	$-10 \dots +18$ V

Integrální nelinearity

$I_{REF} = 2 \text{ mA}$

	nom.	min.-max.
MDAC08C, EC, EP MDAC08CC, CP	NL NL	$\leq \pm 0,19$ $\leq \pm 0,39$ $\%/\text{FS}$ $\%/\text{FS}$

Diferenciální nelinearity

$I_{REF} = 2 \text{ mA}$

	nom.	min.-max.
	DNL	$\leq \pm 1$ LSB

Citlivost na změnu napájecího napětí

$U_{CC} = \pm 4,5 \text{ V} \dots \pm 18 \text{ V}, I_{REF} = 1 \text{ mA}$

	nom.	min.-max.
	E_{FS}	$\pm 0,002$ $\leq \pm 0,01$ $\%/\%$

Doba ustálení

$\Delta I_0 < 1/2 \text{ LSB}, \vartheta_a = 25^\circ\text{C}$

	nom.	min.-max.
	t_s	85 ns

Přejímací zpoždění

$\vartheta_a = 25^\circ\text{C}$

	nom.	min.-max.
	t_p	35 ns

Rychlosť přeběhu

$I_{REF} = 0,5 \dots 2,5 \text{ mA}, C_C = 0 \text{ pF}$

	nom.	min.-max.
MDAC08C, CC, CP MDAC08EC, EP	S TK_{IFS} TK_{IFS}	8,0 $\geq 4,0$ $\text{mA}/\mu\text{s}$

Teplotní součinitel výstupního proudu

	nom.	min.-max.
	TK_{IFS}	± 10 $\leq \pm 80$ 10^{-6} FS/K